

大阪大学工学部 正員 伊藤富雄  
同 同 松井保  
建設省九州地建 同 ○長瀬恵一郎

### 1. まえがき

著者らは粘土・水系。多様な流動現象を統一的に取扱うことを目的として、粘土サスペンション、粘土ペーストおよび正規圧密粘土の流動現象を取り上げ、rate process理論を適用し、これらの代表的な粘土・水系、本質的な流動機構を明らかにしてきた。<sup>(1)(2)(3)</sup> とくに、酸素の一次結合のhomogeneous process<sup>(4)</sup>を表わす粘土・水系において、せん断強さと結合数(流動単位数)がほぼ同一の比例関係にあることが明らかになった。しかし、正規圧密粘土におけるせん断強さと対応させている結合数は破壊時のものではなく、破壊に至らない三軸クリープ試験によって求められたものである。したがって、異ったせん断状態における得られた値を比較してみるとことになり、若干の不統一感が見られる。また、活性化エネルギー、応力レベルによる影響も明らかにされていない。そこで、本報告においては、正規圧密粘土を対象として広範囲の応力レベルに対する活性化エネルギーおよび結合数の変化を調べ、上記の不統一感を解明するとともに正規圧密粘土の流動機構を明確にする。

### 2. 実験方法

試料として、カオリン(L.L.: 52.8%, F値(ホネスナー): 52.1%, Ip: 20.1%,  $\phi_c$ : 2.69, 粘土分(<2μ): 60%)および千里粘土A(L.L.: 92.6%, F値: 76.9%, Ip: 54.9%,  $\phi_c$ : 2.68, 粘土分: 43%)を用いた。クリープ試験方法はAnderslandら<sup>(4)</sup>が行なった方法と同様で、三軸試験機を用いて行なった。すなはち、初期クリープ荷重を載荷し、ほぼ定常クリープへ移行したのち一定荷重増分を付加する。普遍、初期クリープ荷重を載荷しそのうち一段階の荷重増分を載荷する実験を行なうが、応力レベルの影響を検討するため応力レベルの小さい初期クリープ荷重を載荷しそのうち何段階にもわたって荷重増分を載荷する実験も行なった。著者らは圧密終了後2回荷重を増加させるのでDouble Increment試験(DI-Test), 後者は数回荷重を増加させるのでMulti-Increment試験(MI-Test)と称する。千里粘土Aに対して等方圧密圧  $\sigma_c = 1, 2, 3 \text{ kg/cm}^2$  のDIおよびMI-Testの両方を行ない、カオリンに対して  $\sigma_c = 2, 3 \text{ kg/cm}^2$  のDI-Testのみを行なった。

### 3. 実験結果および考察

各荷重段階において、ひずみ速度の対数とひずみの間に直線関係があるのを、この直線性を利用して応力増分載荷荷重後のひずみ速度が外挿され、 $\gamma$ の値を用いて活性化エネルギー  $\Delta F$  および結合数  $S$  が得られる。MI-Testの結果から得られたクリープ応力レベルと活性化エネルギーおよび結合数の関係をそれせん図-1および図-2

に示す。ただし結合数はクリープ応力レベルの0.25~0.80間の平均の結合数  $S_m$  を除して結合数レベルとして示している。これら2つの図から  $\Delta F$  および  $S/S_m$  がともに応力レベルの増加につれて増加する傾向が認められるが、より増加は急激なものではない。Mitchell<sup>(5)</sup>によれば、応力レベルが小さな領域および大きい領域では  $\Delta F$  および  $S/S_m$  の算定に用いたrate processの基本式が成立しないといわれているので、応力レベルが0.25~0.80の範

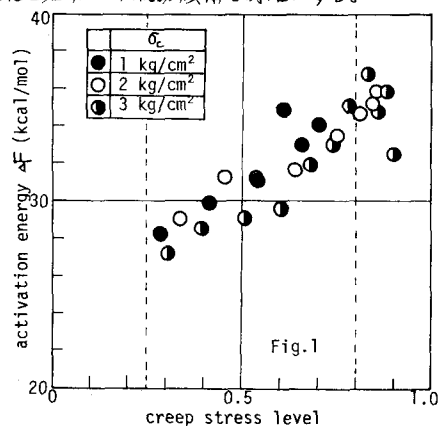


Fig. 1

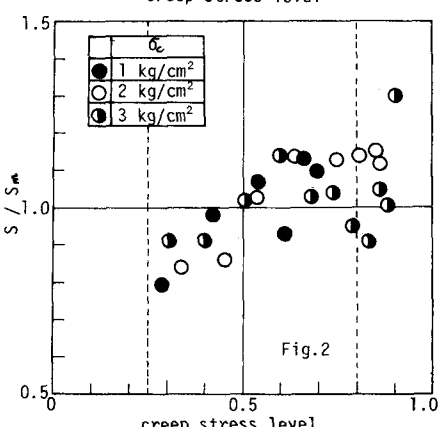


Fig. 2

Table 1

	圧密圧力 $\sigma_c$ (kg/cm²)	試験 種類 N/TG	含水比 W/F	せん断強さ $T_s$ (kg/cm²)	活性化エネルギー $\Delta F$ (kcal/mol)	結合数 $S$ (cm⁻²)
千里 粘 土 A	1	DI	61.3 0.80	0.485	31.2	$4.32 \times 10^3$
		M1	63.9 0.83		28.8	$6.27 \times 10^3$
	2	DI	55.6 0.72	0.869	31.9	$4.21 \times 10^3$
		M1	55.9 0.73		29.6	$6.72 \times 10^3$
	3	DI	51.8 0.67	1.290	33.2	$9.28 \times 10^3$
		M1	52.9 0.69		31.4	$8.00 \times 10^3$
東 京 土 壤	2	DI	39.1 0.75	0.919	29.0	$1.01 \times 10^4$
		M1	38.1 0.73		28.3	$1.77 \times 10^4$
	3	DI	37.4 0.72	1.150	30.7	$1.38 \times 10^4$

域についてみると、 $\Delta F$  は  $28 \sim 35$  kcal/mol,  $S/S_m$  は  $0.79 \sim 1.14$  の範囲にあり、近似的に一定と見なすことができる。したがって、近似的には破壊に至らない試験はすべて得られた結合数と破壊時の応力すなわちせん断強さと対応させてもよいと思われる。以上の二点、 $\Delta F$  および  $S/S_m$  がクリーフ<sup>5)</sup>応力レベルによらずあまり影響を受けてないことが分かったので、以下の議論は MI-Test, 鹿児島レベル  $0.25 \sim 0.80$  の平均値および DI-Test の結果に対する行なう。結果をまとめ表-1 に示す。この表から分かるように、正規圧密粘土の活性化エネルギーは粘土の種類、圧密圧力などによらず約  $28 \sim 33$  kcal/mol の範囲でほぼ一定（平均値  $30.6$  kcal/mol）である。また、結合数と含水比の関係は図-3 に示されている。ただし、含水比は干値で除した値  $W/F$  で示されている。図から分かるように  $\log S$  と  $W/F$  の間にほぼ直線関係が認められ、また粘土の種類は少しが含水比のパラメータとして  $W/F$  をとることにより、正規圧密粘土、 $\log S \sim W/F$  関係を一義的に表現することができると思われる。図-5 は結合数  $S$  およびせん断強さ  $T_s$  と圧密圧力  $\sigma_c$  の関係を示す。ともにほぼ直線関係があり、Mitchell<sup>5)</sup>らによって得られた結果がさらに裏づけられる。図-6 は、ここで得られた正規圧密粘土のせん断強さ  $T_s$  と結合数  $S$  の関係を示す。得られた結果と同時に示してある。図中の実線は酸素一次結合の homogeneous process における  $\sigma_c$  ～  $T_s$  の比例関係である。図-7 は、議論すれば、前述の議論からクリーフ<sup>5)</sup>試験で得られた結合数は破壊時、結合数よりも少し小さな値となることになるので、今回正規圧密粘土に対して得られた図-6 のプロットは破壊時の結合数を用いたのが少し右に移動するに至る。図中の直線に近づくようになる。

以上の結果、図-6 における結合数とせん断強さの比例関係が成立すると考へても大きさ誤りではなく、破壊時の流動単位 1 個当たりに作用するせん断力  $t_f$  ( $= T_s / \sigma_c$ ) は酸素一次結合の homogeneous process で表わされる粘土・水系においてほぼ一定であると結論することができる。これは、微視的な機構の結合力が一定であり、その集合によって巨視的な粘土・水系のせん断強さが発揮されるという概念を明確に証明していることになる。

### 参考文献

- 1) 伊藤・松井・阿倍「粘土の流動機構について」第7回土壤工学研究会(1972)
- 2) 伊藤・松井・阿倍「粘土の流動機構に関する考察」第27回土壤学会(1972)
- 3) 伊藤・松井・長雅「粘土の流動機構に関する研究」第28回土壤学会(1973)
- 4) Andersland et al. "Soil deformation and activation energy", Geotechn. 20 (1970)
- 5) Mitchell et al. "Bonding, effective stress and strength of soils", A.S.C.E. Vol. 95. (1969)

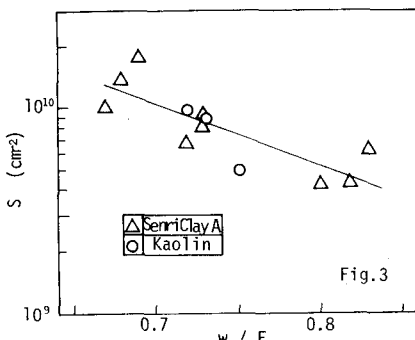


Fig. 3

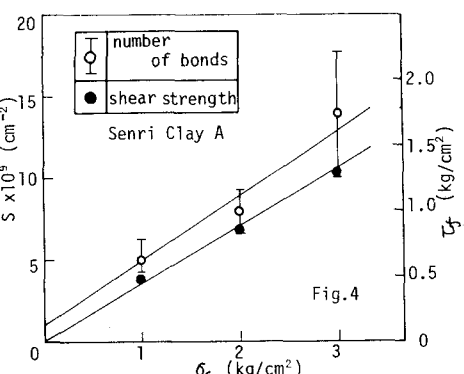


Fig. 4

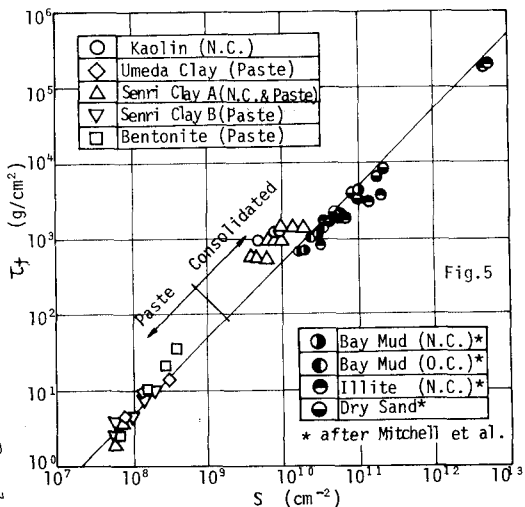


Fig. 5